

Figura 4.52 – Mapa geoquímico do Ho nos sedimentos de fundo das microbacias hidrográficas do Estado do Paraná (sub-células GGRN).

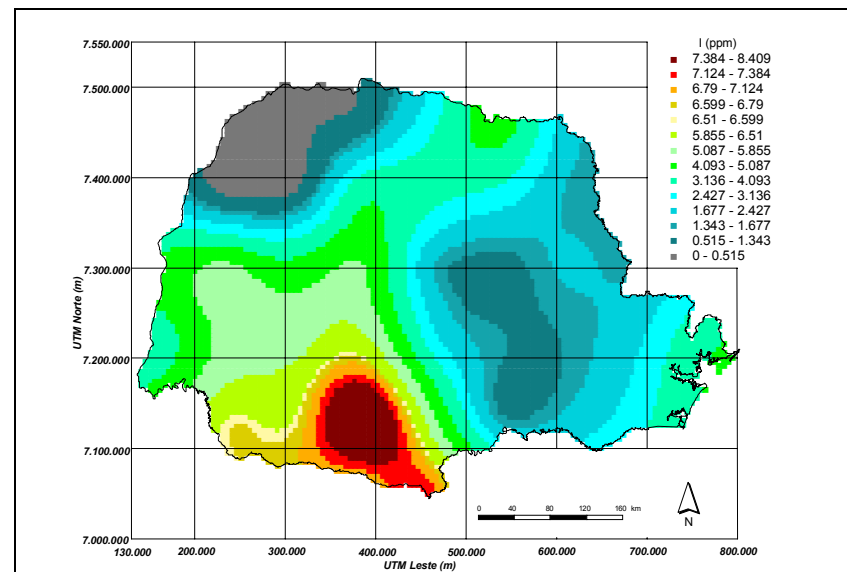


Figura 4.53 – Mapa geoquímico do I nos sedimentos de fundo das microbacias hidrográficas do Estado do Paraná (sub-células GGRN).

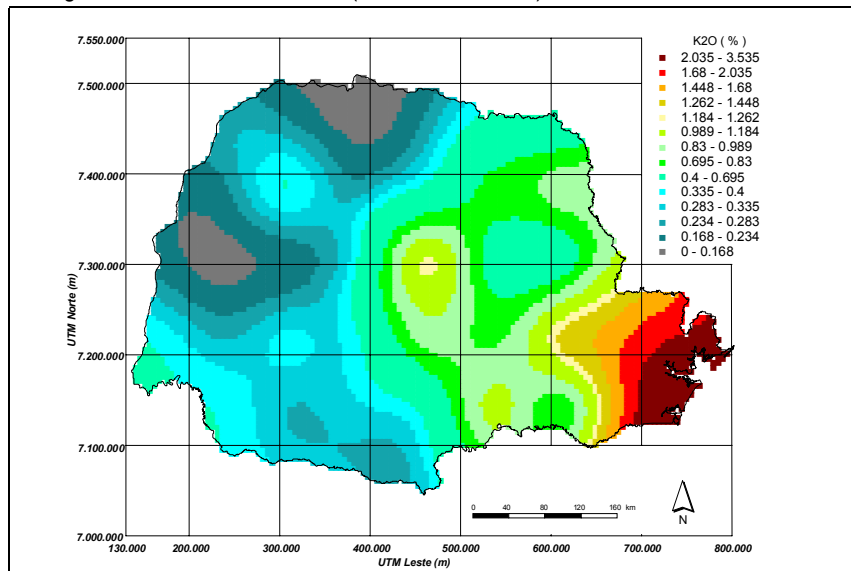


Figura 4.54 – Mapa geoquímico do K₂O nos sedimentos de fundo das microbacias hidrográficas do Estado do Paraná (sub-células GGRN).

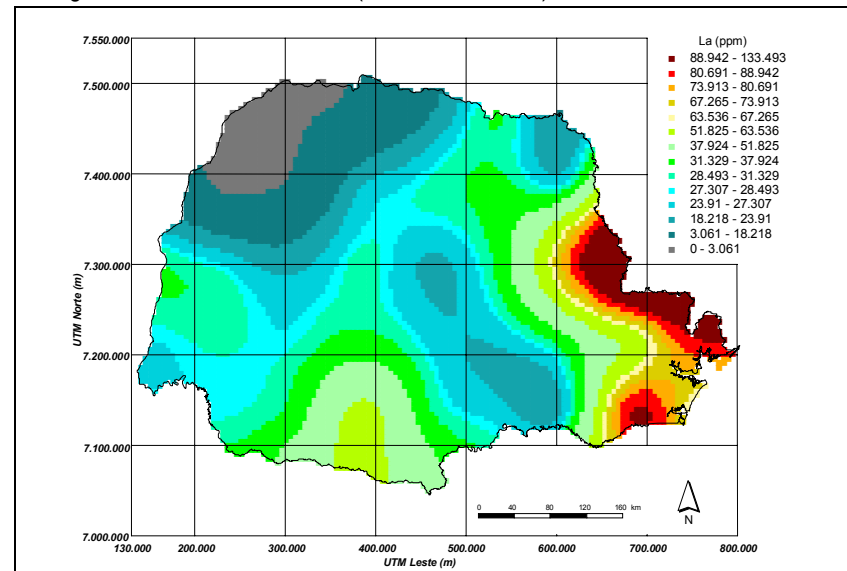


Figura 4.55 – Mapa geoquímico do La nos sedimentos de fundo das microbacias hidrográficas do Estado do Paraná (sub-células GGRN).